

Universidade de São Paulo

Introdução à Física Computacional - Projeto 4

João Victor Dell Agli Floriano - 10799783

1. Tarefa A

Este programa tem como objetivo simular numericamente o movimento de um pêndulo simples, por meio de sua coordenada θ , a partir do método de euler, que consiste no seguinte procedimento para o cálculo da posição e velocidade angular:

$$\omega_{i+1} = \omega_i - \frac{g}{l}\theta_i\Delta t \quad (1)$$

$$\theta_{i+1} = \theta_i + \omega_i\Delta t \quad (2)$$

Este método, realizado iterativamente em n passos, é uma maneira inicialmente interessante e simples de realizar essa simulação. Com os valores de $l = 9,8\text{ m}$, $g = 9,8\text{ m/s}^2$, $m = 1\text{ kg}$, $\omega_0 = 0.0$, $\theta_0 = \pi/8$, $\Delta t = 0.01\text{ s}$, $n = 55000$, calcularemos a energia do pêndulo em função do tempo, assim como sua posição angular. O código que implementa esse algoritmo é:

```
program main
  implicit double precision (a-h, o-z)

  g = 98d-1
  pi = 4d0*datan(1d0)

  rl = 98d-1
  m = 1d0
  theta = pi/8d0
  w = 0d0
  e = 0d0

  dt = 1d-2

  open(20, file = "saida-A-1-10799783.dat")
  open(21, file = "saida-A-2-10799783.dat")
```

```

do i = 1, 55000

    w0 = w
    w = w - (g/r1)*theta*dt
    theta = theta + w0*dt

    !atualizacao do theta para que não passe 2*pi
    theta = dmod(theta, 2d0*pi)

    e = (m*(r1**2)*w**2)/2d0 + m*g*r1*(theta**2)/2d0

    write(20,*) i*dt, theta
    write(21,*) i*dt, e

end do

close(20)
close(21)

stop
end program main

```

Que, ao ser executado:



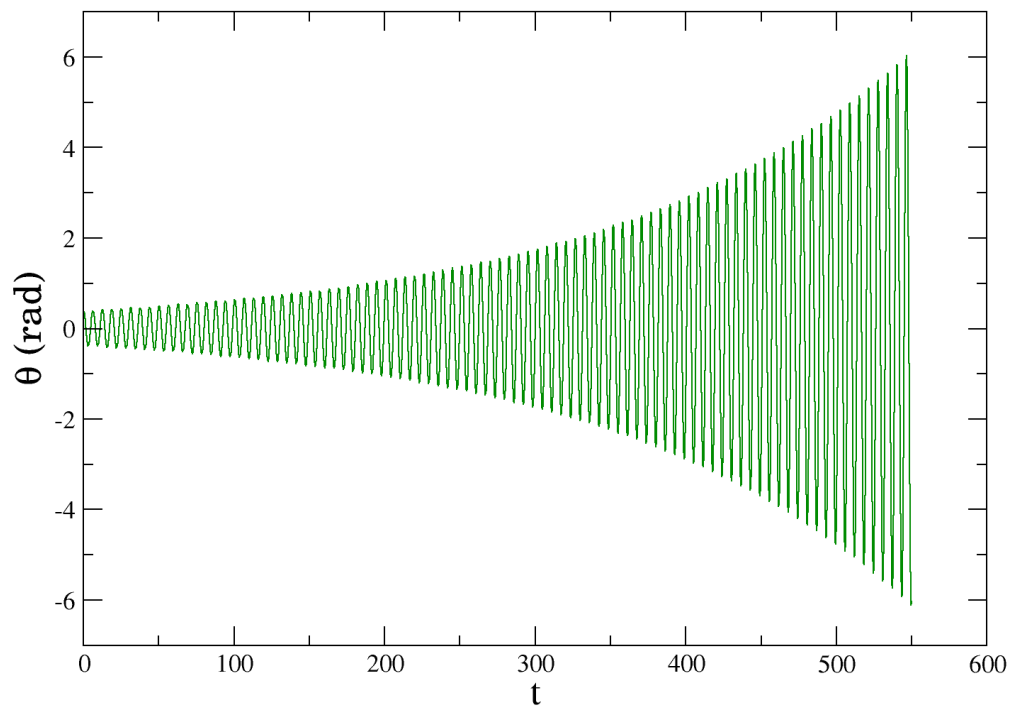
```

joao@joao-Inspiron-15-7000-Gaming: ~/Área de Trabalho/Intro a Fiscomp/Quarto P...
Arquivo  Editar  Ver  Pesquisar  Terminal  Ajuda
o Projeto$ cd tarefaA
(base) joao@joao-Inspiron-15-7000-Gaming:~/Área de Trabalho/Intro a Fiscomp/Quar
o Projeto/tarefaA$ f77 A.f -o A
(base) joao@joao-Inspiron-15-7000-Gaming:~/Área de Trabalho/Intro a Fiscomp/Quar
o Projeto/tarefaA$ ./A
(base) joao@joao-Inspiron-15-7000-Gaming:~/Área de Trabalho/Intro a Fiscomp/Quar
o Projeto/tarefaA$

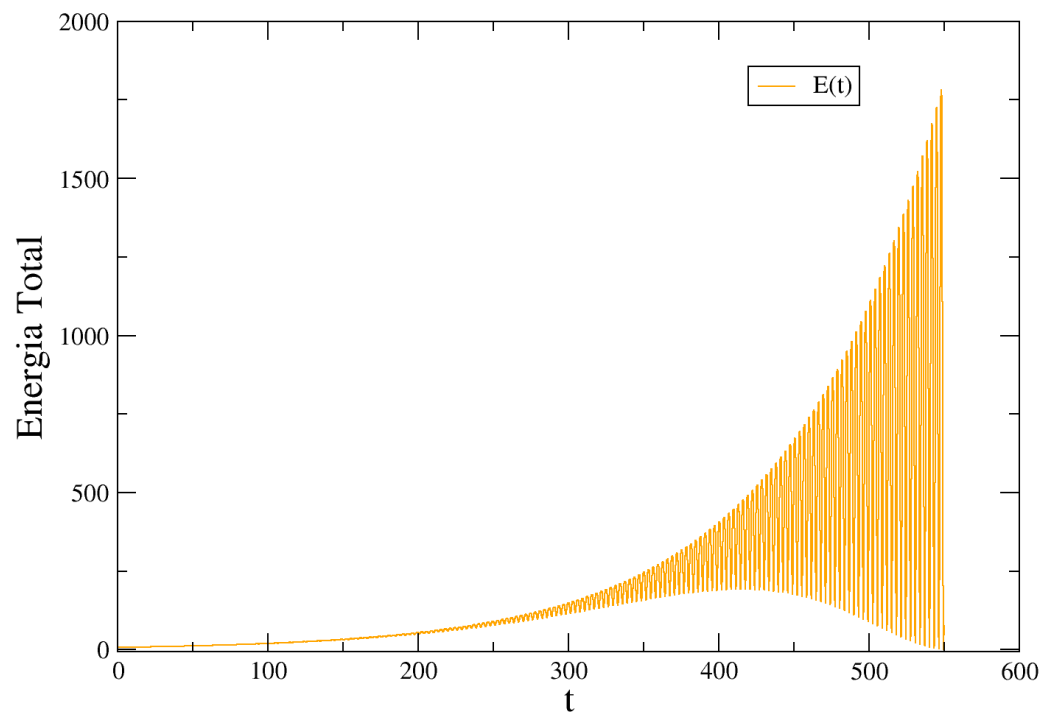
```

Demonstra um resultado um tanto preocupante para o ângulo e a energia:

Evolução de θ de um pendulo simples - método de euler



Evolução da energia de um pendulo simples - método de Euler



Por este método, é verificado um aumento na amplitude do pêndulo, o que implica em um aumento da energia do sistema, porém, conhecendo a disposição e todas as variáveis que envolvem o problema do pêndulo simples, sujeito apenas à ação da gravidade, uma força conservativa, e de nenhuma força externa mais, é evidente que esse resultado está errado, pois a energia deveria ter se conservado ao longo de todo o problema, tendo como valor máximo seu valor inicial. Ou seja: este método não garante a conservação de energia!

Uma correção para o método de Euler é viável pelo método derivado deste, de Euler Cromer, que aplica apenas uma pequena alteração na equação do θ :

$$\omega_{i+1} = \omega_i - \frac{g}{l}\theta_i\Delta t \quad (3)$$

$$\theta_{i+1} = \theta_i + \omega_{i+1}\Delta t \quad (4)$$

Com as mesmas condições iniciais anteriores, aplicando agora esta alteração, temos:

```
program main
  implicit double precision (a-h, o-z)
  double precision coord(2)

  !conserto ao método anterior
  g = 98d-1
  pi = 4d0*datan(1d0)

  rl = 98d-1
  m = 1d0
  theta = pi/8d0
  w = 0d0
  e = 0d0

  dt = 1d-2
```

```

open(22, file = "saida-A-3-10799783.dat")
open(23, file = "saida-A-4-10799783.dat")

do i = 1, 55000

    w = w - (g/r1)*theta*dt
    theta = theta + w*dt

    e = (m*(r1**2)*w**2)/2d0 + m*g*r1*(theta**2)/2d0

    write(22,*) i*dt, theta
    write(23,*) i*dt, e

end do

close(22)
close(23)

stop
end program main

```

Que, ao ser executado:



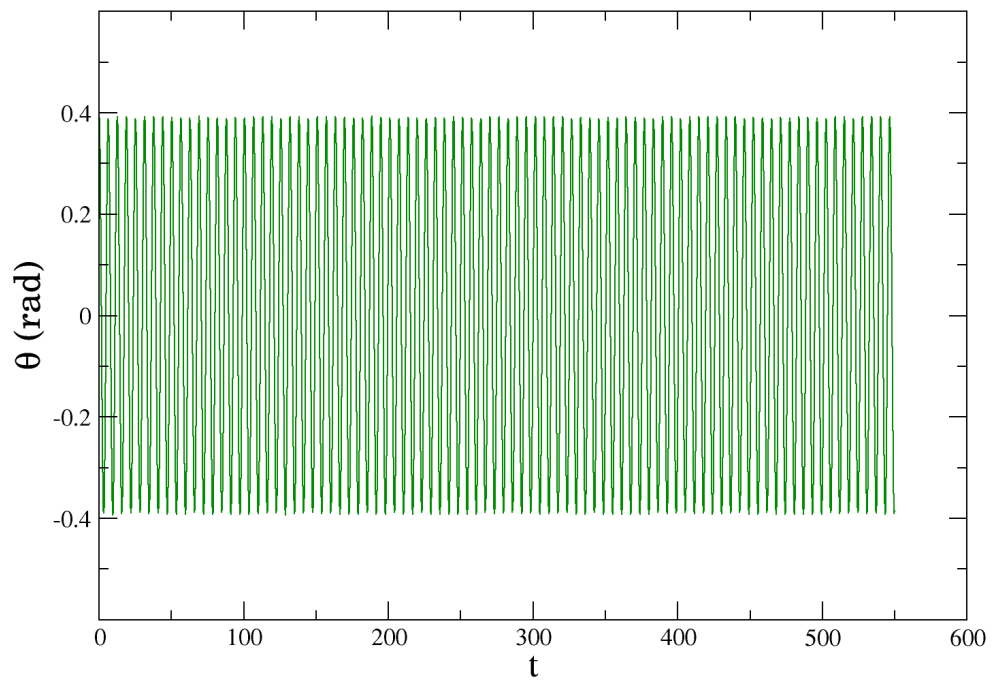
```

joao@joao-Inspiron-15-7000-Gaming: ~/Área de Trabalho/Intro a Fiscomp/Quarto P...
Arquivo  Editar  Ver  Pesquisar  Terminal  Ajuda
o Projeto$ cd tarefaA
(base) joao@joao-Inspiron-15-7000-Gaming:~/Área de Trabalho/Intro a Fiscomp/Quar
o Projeto/tarefaA$ f77 A.f -o A
(base) joao@joao-Inspiron-15-7000-Gaming:~/Área de Trabalho/Intro a Fiscomp/Quar
o Projeto/tarefaA$ ./A
(base) joao@joao-Inspiron-15-7000-Gaming:~/Área de Trabalho/Intro a Fiscomp/Quar
o Projeto/tarefaA$

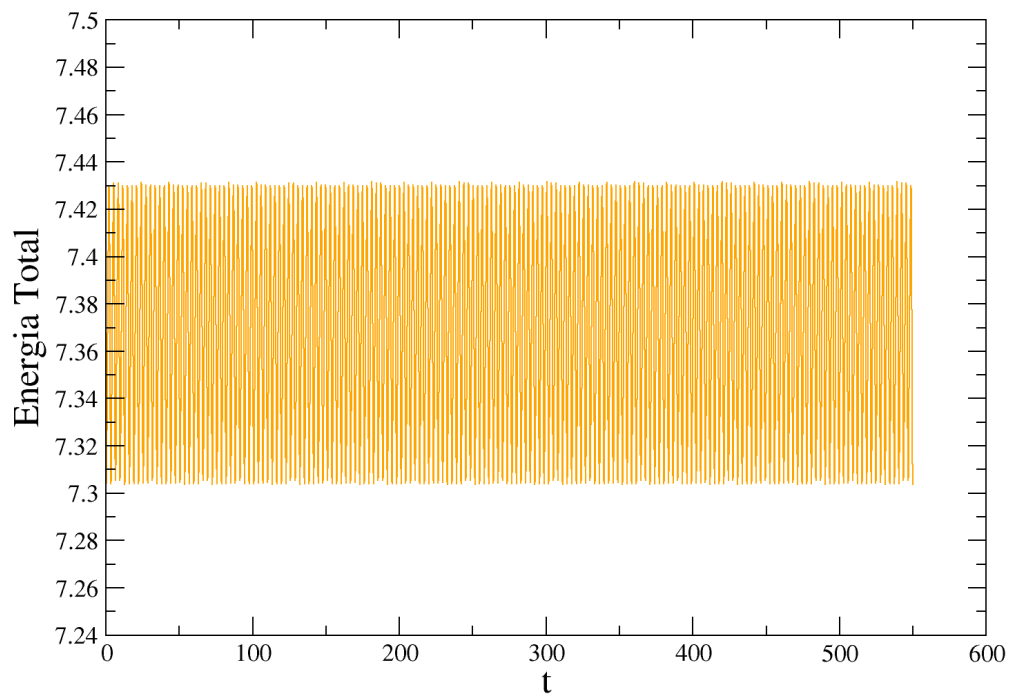
```

Rende os arquivos de saída, que graficados:

Evolução de θ de um pendulo simples - método de euler



Evolução da energia de um pendulo simples - método de Euler



Mostram o resultado esperado, e correto, para um pêndulo simples, demonstrando que o método de Euler-Cromer é adequado a esta simulação.

2. Tarefa B

Para as próximas subtarefas, consideremos um pêndulo sob a ação de uma força dissipativa, e uma força externa oscilatória. A equação que representa esse sistema pode ser escrita como:

$$\frac{d\omega}{dt} = \frac{-g}{l} \sin(\theta) - \gamma \frac{d\theta}{dt} + F_0 \sin(\Omega t) \quad (5)$$

Que, traduzindo para o método Euler-Cromer, fica:

$$\omega_{i+1} = \omega_i + \left(\frac{-g}{l} \sin(\theta) - \gamma \omega_i + F_0 \sin(\Omega t) \right) \Delta t \quad (6)$$

$$\theta_{i+1} = \theta_i + \omega_{i+1} \Delta t \quad (7)$$

A seguir, são testadas algumas condições iniciais para essa implementação.

2.1 B1 Pêndulo Simples

O primeiro caso a ser analisado é o de $\gamma = F_0 = 0$, ou seja, o de um pêndulo simples, para verificar se o comportamento se mantém, para uma série de θ s iniciais. Desta vez, não analisamos a energia, mas sim seu período, calculado como função de θ_0 , verificando toda vez que o período é completado e armazenando a diferença de tempo entre o atual e o último ciclo. Feito o cálculo explícito, é feita uma comparação com o seu cálculo feito por meio de uma integral elíptica:

$$T = \sqrt{\frac{2l}{g}} \int_{-\theta_0}^{+\theta_0} \frac{d\theta}{\sqrt{\cos\theta - \cos\theta_0}} \quad (9)$$

Para o cálculo da integral acima, usaremos o método de Simpson para cálculo numérico de integrais, com um cuidado especial. Note que o cálculo numérico da função da integral acima possui duas singularidades nesse intervalo: $-\theta_0$ e $+\theta_0$. Para evitar esses pontos problemáticos, calculamos a integral em um intervalo diferente, ao custo de um erro no cálculo final:

$$T = \sqrt{\frac{2l}{g}} \int_{-\theta_0+\epsilon}^{+\theta_0-\epsilon} \frac{d\theta}{\sqrt{\cos\theta - \cos\theta_0}} \quad (10)$$

Sendo ϵ um valor pequeno, apenas para escapar dos extremos

problemáticos

O programa que implementa esse algoritmo, para $l = 9,8\text{ m}$, $g = 9,8\text{ m/s}^2$ e uma distribuição de θ s iniciais, é:

```
double precision function f(theta, theta0, r1)
  implicit double precision (a-h, o-z)

  g = 980665d-5

  f = dsqrt(2d0*r1/g)*(1d0/dsqrt(dcos(theta) - dcos(theta0)))

  return

end function f


double precision function cf(theta0, r1)
  implicit double precision (a-h, o-z)

  !regra de simpson
  iseg = 1536
  rint = 0d0
  E = 5d-6
  a = -t*theta0 + E !adaptação para evitar os extremos
  b = +theta0 - E
  dh = (b - a)/(2d0*iseg)

  do i = 1, iseg

    rint = rint + (dh/3d0)*(f(a, theta0, r1)
& + 4d0*f(a + dh, theta0, r1) + f(a + 2d0*dh, theta0, r1))
    a = a + 2d0*dh

  end do

  cf = rint

  return

end function cf


program main
  implicit double precision (a-h, o-z)
```

```

double precision thetas(4)

g = 98d-1
pi = 4*datan(1d0)

!B1
r1 = 98d-1
m = 1d0
gamma = 0d0
omega = 0d0
f0 = 0d0

thetas(1) = pi/12d0
thetas(2) = pi/16d0
thetas(3) = pi/20d0
thetas(4) = pi/24d0

do j = 1, 4

    theta0 = thetas(j)
    theta = theta0
    w = 0d0
    e = 0d0

    dt = 5d-2

    T = 0d0
    Taux = 0d0
    rcounter = 0d0

    do i = 1, 1000

        w = w + (-(g/r1)*dsin(theta)-gamma*w
&+f0*dsin(i*dt*omega))*dt
        theta = theta + w*dt

        !Calculando o período com base no theta0
        if (dabs(theta - theta0) .LT. 1d-4 .AND.
& i*dt - Taux .GT. 2*dt) then
            !Se theta for quase theta0, completou-se um ciclo

            T = T + (i*dt - Taux)

```

```

        Taux = i*dt
        rcounter = rcounter + 1d0

    end if

end do

T = T/rcounter

Tc = cf(theta0, r1)
write(*,*) "THETA =", theta0

write(*,*) "Período explícito = ", T
write(*,*) "Período integral = ", Tc
write(*,*) "Diferença entre períodos = ", dabs(T - Tc)
write(*,*) " "
write(*,*) " "
write(*,*) " "

end do

end program main

```

Que ao ser executado, rende:

```

joao@joao-Inspiron-15-7000-Gaming: ~/Área de Trabalho/Intro a Fiscomp/Quarto Projeto/tarefaB
Arquivo Editar Ver Pesquisar Terminal Ajuda
(base) joao@joao-Inspiron-15-7000-Gaming:~/Área de Trabalho/Intro a Fiscomp/Quarto Projeto/tare
aB$ f77 B.f do(Beta)
(base) joao@joao-Inspiron-15-7000-Gaming:~/Área de Trabalho/Intro a Fiscomp/Quarto Projeto/tare
aB$ ./B
THETA = 0.26179938779914941
Período explícito = 6.3071428571428578
Período integral = 6.3549308586150008
Diferença entre períodos = 4.7788001472143016E-002

THETA = 0.19634954084936207
Período explícito = 6.2928571428571436
Período integral = 6.3231118013226535
Diferença entre períodos = 3.0254658465509898E-002

THETA = 0.15707963267948966
Período explícito = 6.2857142857142856
Período integral = 6.3037715027389414
Diferença entre períodos = 1.8057217024655792E-002

THETA = 0.13089969389957470
Período explícito = 6.2857142857142856
Período integral = 6.2903379581795500
Diferença entre períodos = 4.6236724652644057E-003

```

2.2 B2

Nesta segunda parte, realizaremos o mesmo cálculo do período para um θ pequeno, porém ao invés compararmos com o cálculo por meio da integral elíptica, compararemos com a seguinte fórmula para θ pequenos, realizada por Bernoulli em 1749¹:

$$T = 2\pi\sqrt{\frac{l}{g}}\left(1 + \frac{\theta_0^2}{16}\right) \quad (11)$$

Para $\theta = \pi/24$ e os mesmos l e g usados anteriormente, o programa que implementa este algoritmo é:

```
program main
  implicit double precision (a-h, o-z)
  !B2
  r1 = 98d-1
  m = 1d0
  gamma = 0d0
  omega = 0d0
  f0 = 0d0

  theta0 = pi/24d0
  theta = theta0
  w = 0d0

  dt = 5d-2

  T = 0d0
  Taux = 0d0
  rcounter = 0d0

  do i = 1, 1000

    w = w + (-(g/r1)*dsin(theta)-gamma*w
    & + f0*dsin(i*dt*omega))*dt
    theta = theta + w*dt

    !Calculando o período com base no theta0
    if (dabs(theta - theta0) .LT. 1d-4 .AND.
    & i*dt - Taux .GT. 2*dt) then
      !Se theta for quase theta0, completou-se um ciclo
```

¹ <https://pt.wikipedia.org/wiki/Pêndulo>

```

        T = T + (i*dt - Taux)

        Taux = i*dt
        rcounter = rcounter + 1d0

    end if
end do

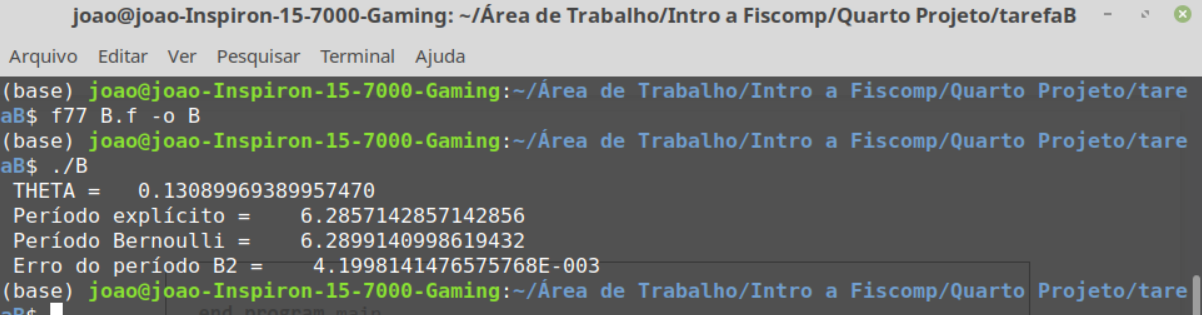
T = T/rcounter

Tc = 2d0*pi*dsqrt(r1/g)*(1d0 + (theta0**2)/16d0)

write(*,*) "THETA = ", theta0
write(*,*) "Período explícito = ", T
write(*,*) "Período Bernoulli = ", Tc
write(*,*) "Erro do período B2 = ", dabs(T - Tc)
stop
end program main

```

Que rodando, rende:



```

joao@joao-Inspiron-15-7000-Gaming: ~/Área de Trabalho/Intro a Fiscomp/Quarto Projeto/tarefaB
Arquivo Editar Ver Pesquisar Terminal Ajuda
(base) joao@joao-Inspiron-15-7000-Gaming:~/Área de Trabalho/Intro a Fiscomp/Quarto Projeto/tare
aB$ f77 B.f -o B
(base) joao@joao-Inspiron-15-7000-Gaming:~/Área de Trabalho/Intro a Fiscomp/Quarto Projeto/tare
aB$ ./B
THETA = 0.13089969389957470
Período explícito = 6.2857142857142856
Período Bernoulli = 6.2899140998619432
Erro do período B2 = 4.1998141476575768E-003
(base) joao@joao-Inspiron-15-7000-Gaming:~/Área de Trabalho/Intro a Fiscomp/Quarto Projeto/tare
aB$

```

Mostrando que, de fato, o período está sendo dado pela relação (11), caracterizando assim um estado de oscilações harmônicas, independentes de θ_0 .

2.3 B3

Nesta terceira parte, agora consideremos o regime de amortecimento, ou seja, $\gamma = 0.5$ na equação (5). Aqui analisaremos $\theta \times t$ a partir de um gráfico.

O programa que implementa esse algoritmo é:

```
program main
```

```

implicit double precision (a-h, o-z)
!B3
r1 = 98d-1
m = 1d0
gamma = 5d-1 !coeficiente de amortecimento
omega = 0d0
f0 = 0d0

theta0 = pi/12d0
theta = theta0
w = 0d0

dt = 5d-2

open(25, file = "saida-B-1-10799783.dat")

do i = 1, 500

    w = w + (-(g/r1)*dsin(theta)-gamma*w
& +f0*dsin(i*dt*omega))*dt
    theta = theta + w*dt

    write(25,*) i*dt, theta

end do

close(25)
stop
end program main

```

Que rodando, rende

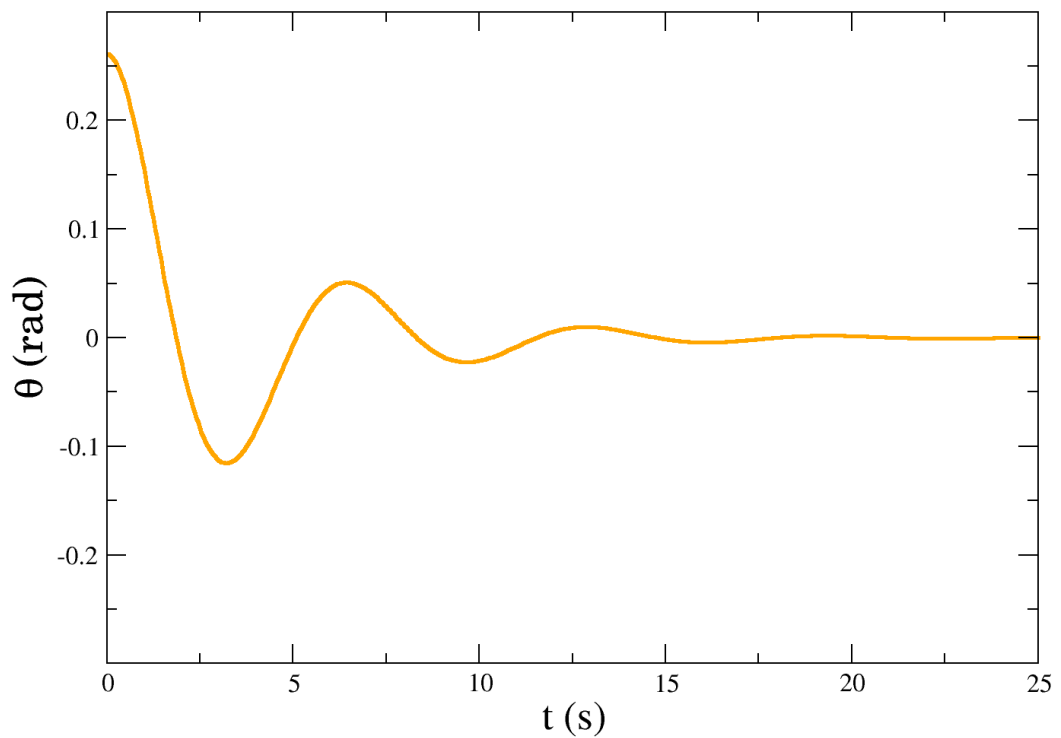
```

joao@joao-Inspiron-15-7000-Gaming: ~/Área de Trabalho/Intro a Fiscomp/Quarto Projeto/tarefaB
Arquivo Editar Ver Pesquisar Terminal Ajuda
(base) joao@joao-Inspiron-15-7000-Gaming:~/Área de Trabalho/Intro a Fiscomp/Quarto Projeto/tare
aB$ f77 B.f -o B
(base) joao@joao-Inspiron-15-7000-Gaming:~/Área de Trabalho/Intro a Fiscomp/Quarto Projeto/tare
aB$ ./B
(base) joao@joao-Inspiron-15-7000-Gaming:~/Área de Trabalho/Intro a Fiscomp/Quarto Projeto/tare
aB$ 2.4 B4

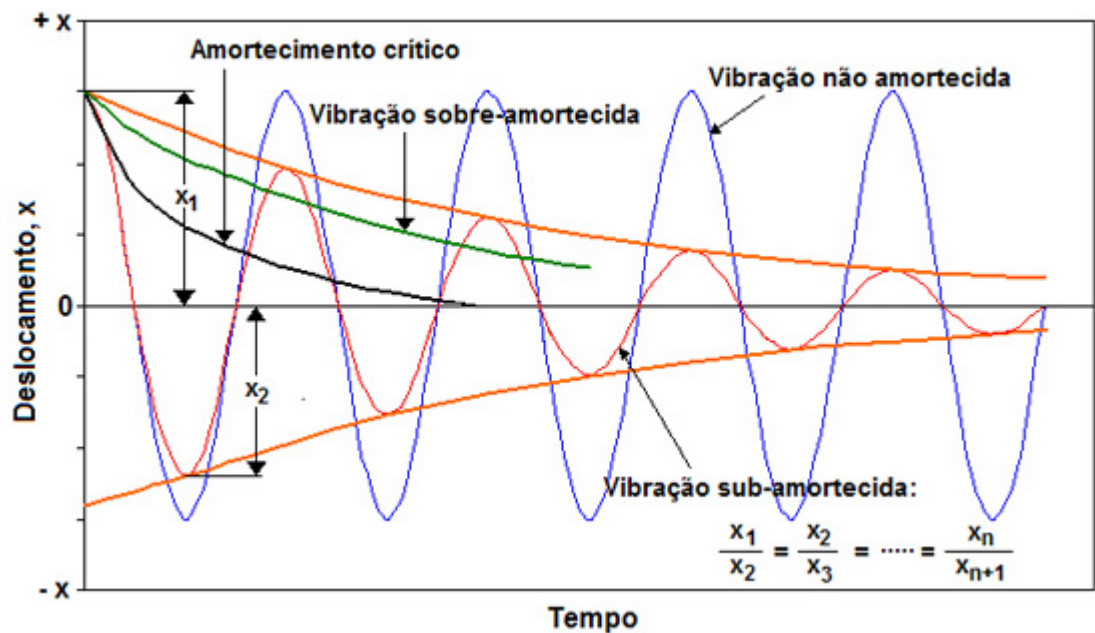
```

E um grande arquivo de saída, que graficado, rende:

Evolução do ângulo em um pêndulo amortecido



Que, ao ser analisado, é visualmente possível inferir que, para $\gamma = 0.5$, o sistema entra em regime de amortecimento sub-crítico, como descrito pela imagem abaixo:



Fonte: <https://www.ctborracha.com/artefactos/a-borracha-no-amortecimento-de-vibracoes/>

2.4 B4

Para esta quarta parte do item B, consideremos agora o caso com $\gamma = 0.5$, $\Omega = 2/3$, e $\Delta t = 0.03$, para três forças de valores $F_0 = 0.0, 0.5, 1.2$, os quais nos permitirão análise dos gráficos de $\theta(t)$ e $\omega(t)$. O programa que implementa o algoritmo é:

```
program main
implicit double precision (a-h, o-z)
!B4
r1 = 1d0
m = 1d0
gamma = 5d-1
omega = 2d0/3d0
f01 = 0d0
f02 = 5d-1
f03 = 12d-1

theta0 = pi/12d0
theta1 = theta0
theta2 = theta0
theta3 = theta0
w1 = 0d0
w2 = 0d0
w3 = 0d0

dt = 3d-2

open(26, file = "saida-B-2-10799783.dat")
open(27, file = "saida-B-3-10799783.dat")

do i = 1, 500

    !Pendulo para f01 = 0d0
    w1 = w1 + (-(g/r1)*dsin(theta1)-gamma*w1
    &+f01*dsin(i*dt*omega))*dt
    theta1 = theta1 + w1*dt

    !Pendulo para f02 = 5d-1
    w2 = w2 + (-(g/r1)*dsin(theta2)-gamma*w2
    &+f02*dsin(i*dt*omega))*dt
```



```

        theta2 = theta2 + w2*dt

        !Pendulo para f03 = 12d-1
        w3 = w3 + (-(g/r1)*dsin(theta3)-gamma*w3
&+f03*dsin(i*dt*omega))*dt
        theta3 = theta3 + w3*dt

        write(26,*) i*dt, w1, w2, w3
        write(27,*) i*dt, theta1, theta2, theta3

    end do

    close(26)
    close(27)

    stop
end program main

```

Que rodando, rende:

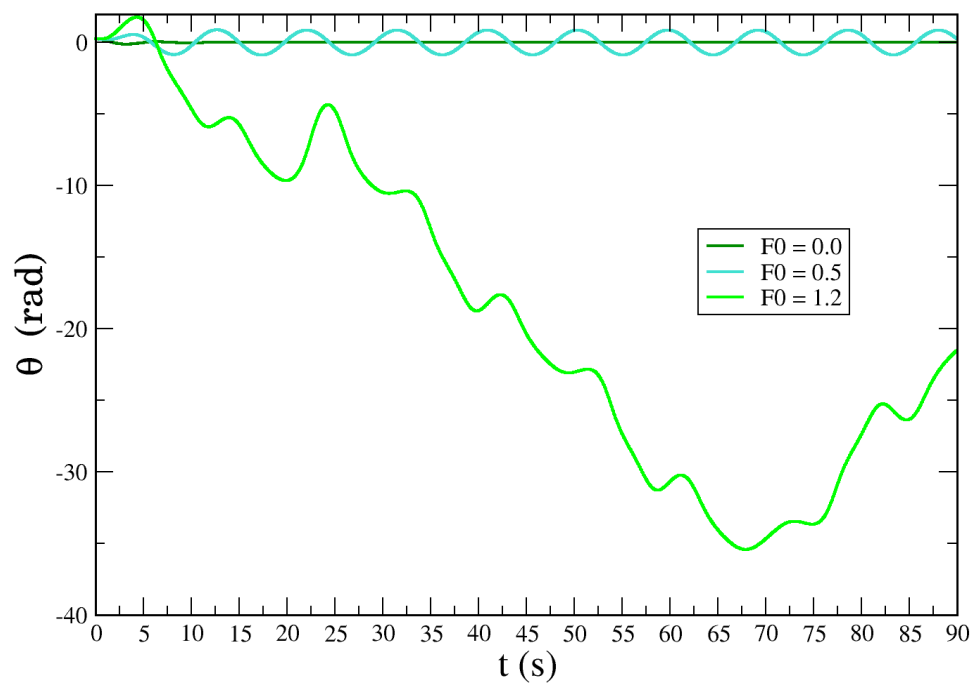
```

joao@joao-Inspiron-15-7000-Gaming: ~/Área de Trabalho/Intro a Fiscomp/Quarto Projeto/tarefaB
Arquivo Editar Ver Pesquisar Terminal Ajuda
(base) joao@joao-Inspiron-15-7000-Gaming:~/Área de Trabalho/Intro a Fiscomp/Quarto Projeto/tare
aB$ f77 B.f -o B
(base) joao@joao-Inspiron-15-7000-Gaming:~/Área de Trabalho/Intro a Fiscomp/Quarto Projeto/tare
aB$ ./B
(base) joao@joao-Inspiron-15-7000-Gaming:~/Área de Trabalho/Intro a Fiscomp/Quarto Projeto/tare
aB$ 2.4 B4

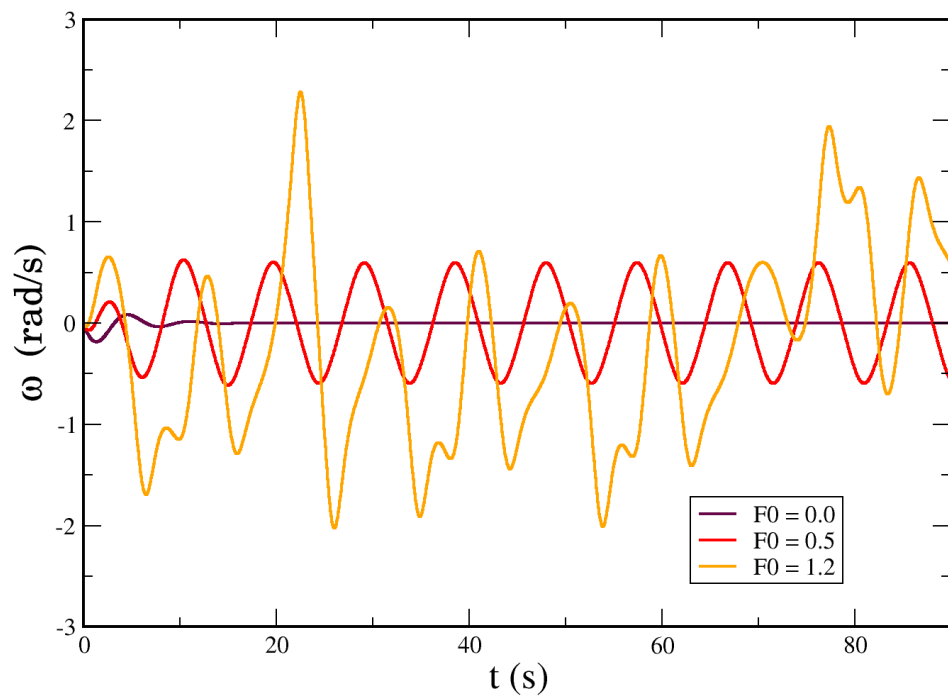
```

E dois grandes arquivos de saída, que graficados, ficam:

Evolução do ângulo para três forças no pendulo amortecido forçado



Evolução da velocidade angular em um pendulo amortecido forçado



Os dois gráficos revelam um comportamento interessante, principalmente o primeiro. É possível perceber que, desde o começo, enquanto o pêndulo sem forças externas segue seu caminho previsto de amortecimento, o movimento do pêndulo sob força 1.2 desanda de seu comportamento previsto, adquirindo um de certa forma imprevisível, perdendo totalmente sua periodicidade na janela de tempo simulada. O pêndulo sob força 0.5, diferente da força 1.2, não perde sua periodicidade, sendo responsável apenas por aumentar a amplitude do movimento natural do pêndulo. Pelo gráfico, é possível estimar sua frequência, o inverso do período, como algo em torno de 1/10.

3. Tarefa C

Nesta tarefa, adotamos os mesmos valores usados em B4 para as demais variáveis, porém agora consideramos dois pêndulos de mesmas configurações, porém com diferenças de ângulos iniciais $\Delta\theta_0 = 0.001 \text{ rad}$. A partir disso, pretende-se analisar a evolução dessa diferença com o tempo $\Delta\theta(t)$, na procura pela suposta caoticidade dos regimes sob as duas forças diferentes. Essa diferença deve ter o seguinte formato:

$$\Delta\theta(t) \approx e^{\lambda t} \quad (12)$$

Sendo λ o que chama-se de expoente de Liapunov. Espera-se, que para casos não-caóticos, como o da força = 0.5, a curva $\Delta\theta$ tenha formato modelado por uma exponencial de expoente negativo, ou seja, com $\lambda < 0$. O contrário é então esperando para casos caóticos como o da força = 1.2, tendo a curva do $\Delta\theta$ modelada a partir de uma exponencial de expoente positivo, ou seja, com $\lambda > 0$.

O programa que implementa este algoritmo é:

```
program main
  implicit double precision (a-h, o-z)

  g = 98d-1
  pi = 4*datan(1d0)
```

```

r1 = 98d-1
m = 1d0
gamma = 5d-1
omega = 2d0/3d0
f01 = 5d-1
f02 = 12d-1

theta01 = pi/12d0
theta02 = theta01 + 1d-3

!f01 = 5d-1
theta11 = theta01
theta21 = theta02

w11 = 0d0
w21 = 0d0

!f02 = 12d-1
theta12 = theta01
theta22 = theta02

w12 = 0d0
w22 = 0d0

dt = 3d-2

open(27, file = "saida-C-1-10799783.dat")
open(28, file = "saida-C-2-10799783.dat")

do i = 1, 3000

!f01 = 5d-1

!pendulo 1
w11 = w11 + (-(g/r1)*dsin(theta11)-gamma*w11
&+f01*dsin(i*dt*omega))*dt
theta11 = theta11 + w11*dt

!pendulo 2
w21 = w21 + (-(g/r1)*dsin(theta21)-gamma*w21
&+f01*dsin(i*dt*omega))*dt
theta21 = theta21 + w21*dt

!f02 = 12d-1

```

```

        !pendulo 1
        w12 = w12 + (-(g/r1)*dsin(theta12)-gamma*w12
&+f02*dsin(i*dt*omega))*dt
        theta12 = theta12 + w12*dt

        !pendulo 2
        w22 = w22 + (-(g/r1)*dsin(theta22)-gamma*w22
&+f02*dsin(i*dt*omega))*dt
        theta22 = theta22 + w22*dt


        deltat1 = dabs(theta21 - theta11)
        deltat2 = dabs(theta22 - theta12)


        write(27,*) i*dt, deltat1
        write(28,*) i*dt, deltat2


    end do


    close(27)
    close(28)


    stop
end program main

```

Que rodando, rende:

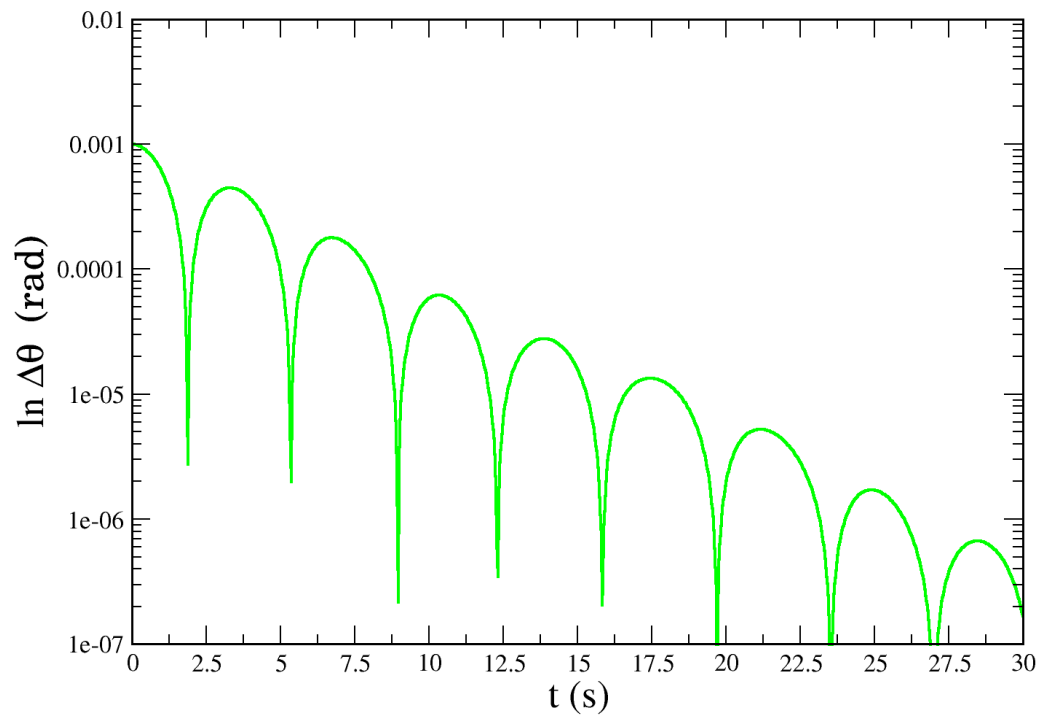
```

joao@joao-Inspiron-15-7000-Gaming: ~/Área de Trabalho/Intro a Fiscomp/Quarto Projeto/tarefaC
Arquivo Editar Ver Pesquisar Terminal Ajuda
(base) joao@joao-Inspiron-15-7000-Gaming:~/Área de Trabalho/Intro a Fiscomp/Quarto Projeto/tare
aC$ f77 C.f -o C
(base) joao@joao-Inspiron-15-7000-Gaming:~/Área de Trabalho/Intro a Fiscomp/Quarto Projeto/tare
aC$ ./C
(base) joao@joao-Inspiron-15-7000-Gaming:~/Área de Trabalho/Intro a Fiscomp/Quarto Projeto/tare
aC$ stop

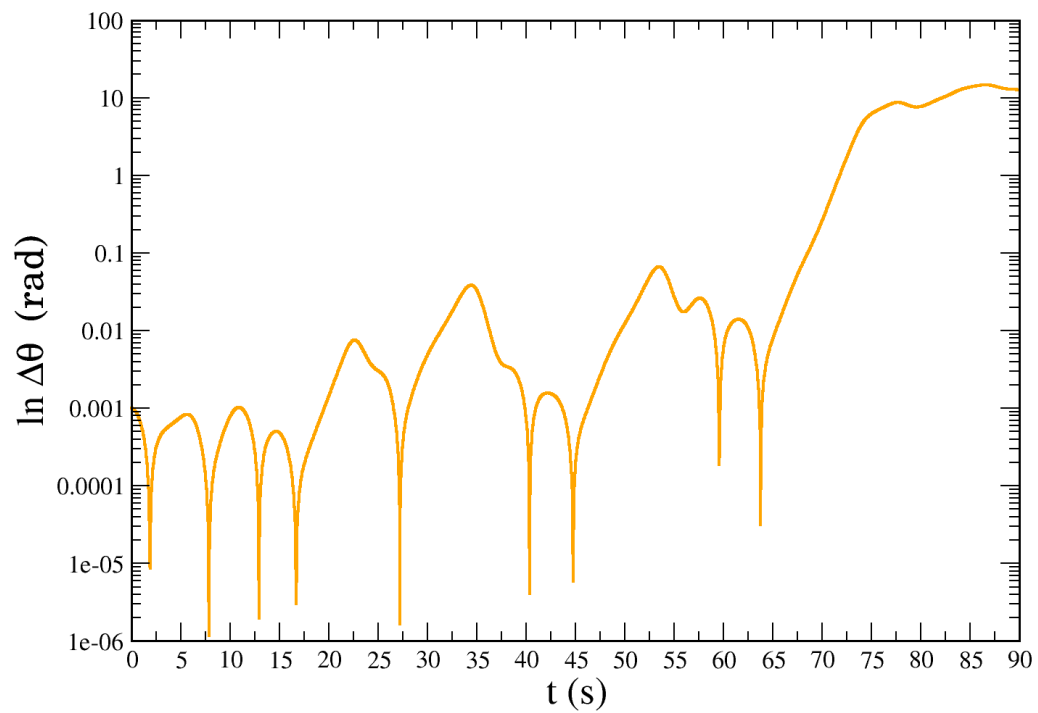
```

Tendo como arquivos de saída os dados para os gráficos dos casos das duas forças. Graficando-os em escala semi-log, temos:

Evolução da diferença de ângulos em dois pêndulos sob força = 0.5



Evolução da diferença de ângulos em dois pêndulos sob força = 1.2



Pelos gráficos, é possível verificar com sucesso o comportamento descrito

anteriormente, com o caso da força = 0.5 obedecendo o regime não caótico, e a força = 1.2 ocorrendo sob um regime caótico. É possível também estimar os respectivos expoentes contabilizando os picos, afinal o seguinte gráfico em semi-log deve ter o formato:

$$\ln(\Delta\theta) \approx \lambda t \quad (13)$$

Pelo gráfico do regime não-caótico, pegando o pico inicial em $(0, \ln 10^{-3})$ e o pico final em $(28.75, \ln 10^{-6})$, temos:

$$\lambda \approx \frac{\ln 10^{-6} - \ln 10^{-3}}{28.75 - 0.0} \approx -0.24 \quad (14)$$

É possível também, apesar de uma aproximação grosseira, estimar o expoente no caso caótico. Pegando o pico inicial também em $(0, \ln 10^{-3})$ e o pico final em $(85, \ln 10)$, temos:

$$\lambda \approx \frac{\ln 10 - \ln 10^{-3}}{85 - 0.0} \approx 0.108 \quad (15)$$

4. Tarefa D

Nesta tarefa, o objetivo foi de, a partir dos mesmos coeficientes anteriores, fazer gráficos de $\omega(\theta)$, o espaço de fase, para algumas condições iniciais próximas, sob o regime das forças 0.5 e 1.2.

O programa que implementa o algoritmo é:

```
program main
  implicit double precision (a-h, o-z)
  double precision thetas(4)

  g = 98d-1
  pi = 4*datan(1d0)

  r1 = 98d-1
  m = 1d0
  gamma = 5d-1
```

```
omega = 2d0/3d0  
f01 = 5d-1  
f02 = 12d-1
```

```
thetas(1) = pi/12d0  
thetas(2) = pi/16d0  
thetas(3) = pi/20d0  
thetas(4) = pi/24d0
```

```
!pendulo 1
```

```
w11 = 0d0  
w21 = 0d0
```

```
!pendulo 2
```

```
w12 = 0d0  
w22 = 0d0
```

```
dt = 3d-2
```

```
open(28, file = "saida-D-1-10799783.dat")  
open(29, file = "saida-D-2-10799783.dat")  
open(30, file = "saida-D-3-10799783.dat")  
open(31, file = "saida-D-4-10799783.dat")
```

```
open(32, file = "saida-D-5-10799783.dat")  
open(33, file = "saida-D-6-10799783.dat")  
open(34, file = "saida-D-7-10799783.dat")  
open(35, file = "saida-D-8-10799783.dat")
```

```
do j = 0, 3
```

```
!determinando thetas iniciais próximos  
theta11 = thetas(j + 1)  
theta12 = thetas(j + 1)
```



```

do i = 1, 1000

    w11 = w11 + (-(g/r1)*dsin(theta11)-gamma*w11
    &+f01*dsin(i*dt*omega))*dt
    theta11 = theta11 + w11*dt

    w12 = w12 + (-(g/r1)*dsin(theta12)-gamma*w12
    &+f02*dsin(i*dt*omega))*dt
    theta12 = theta12 + w12*dt

    n = 28 + j
    m = 32 + j

    write(n,*) theta11, w11
    write(m,*) theta12, w12

end do

end do

close(28)
close(29)
close(30)
close(31)
close(32)
close(33)
close(34)
close(35)

stop
end program main

```

Rodando, temos:

```

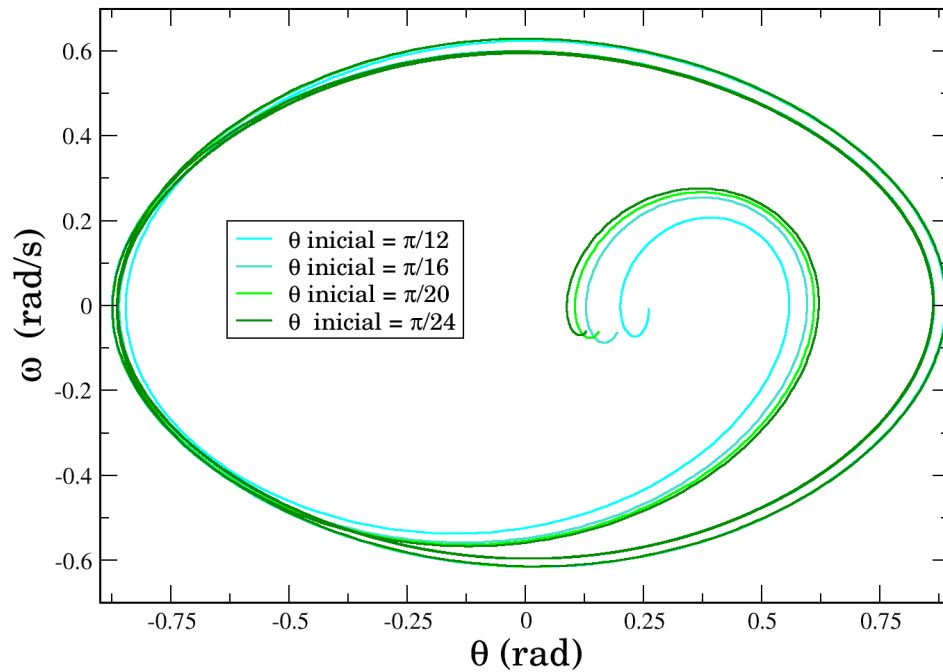
joao@joao-Inspiron-15-7000-Gaming: ~/Área de Trabalho/Intro a Fiscomp/Quarto Projeto/tarefaD
Arquivo Editar Ver Pesquisar Terminal Ajuda
(base) joao@joao-Inspiron-15-7000-Gaming:~/Área de Trabalho/Intro a Fiscomp/Quarto Projeto/tare
aD$ f77 D.f -o D
(base) joao@joao-Inspiron-15-7000-Gaming:~/Área de Trabalho/Intro a Fiscomp/Quarto Projeto/tare
aD$ ./D
(base) joao@joao-Inspiron-15-7000-Gaming:~/Área de Trabalho/Intro a Fiscomp/Quarto Projeto/tare
aD$ QD$

```

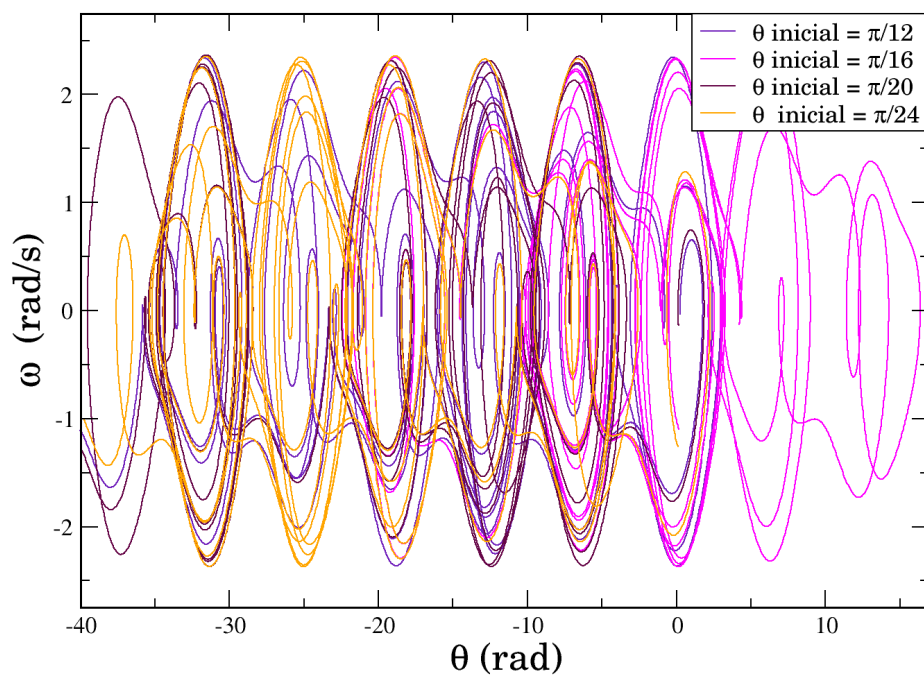
Que rende uma série de arquivos que nos possibilitam graficar os espaços de

fase para as condições impostas. Graficando-os, temos:

Espaço de fase de pêndulos sob força = 0.5



Espaço de fase de um pêndulo sob força = 1.2



Percebe-se, comparando as duas situações de forças diferentes, como o

movimento caótico se comporta em relação ao não-caótico. Enquanto no movimento não-caótico obtivemos uma região elipsoidal uniforme, no movimento caótico obtivemos uma figura mais complexa, mas que, por incrível que pareça, possui também uma região bem definida, porém mais extensa. É possível concluir, por exemplo, que o pêndulo caótico nunca assumirá o par posição-velocidade angular = (10, - 2.5), o que parece ir contra a ideia de “caos” anteriormente assumida para este caso.

5. Tarefa E

Nesta tarefa, o objetivo foi de, a partir dos conceitos apresentados no item anterior, visualizar o espaço de fase do pêndulo sob as duas forças, porém sob condições diferentes. Aqui, analisamos o espaço de fase em locais específicos, no caso, quando $\Omega t = n\pi$, locais conhecidos como Secções de Poincaré. Para fazer essa análise, alterou-se o código anterior para apenas imprimir a coordenada no arquivo de saída quando a seguinte condição fosse atingida:

$$\left| t - \frac{n\pi}{\Omega} \right| < \frac{\Delta t}{2} \quad (16)$$

O código que implementa esse algoritmo é:

```
program main
  implicit double precision (a-h, o-z)
  double precision thetas(4)

  g = 98d-1
  pi = 4*datan(1d0)

  r1 = 98d-1
  m = 1d0
  gamma = 5d-1
  omega = 2d0/3d0
  f01 = 5d-1
  f02 = 12d-1

  thetas(1) = pi/60d-1
  thetas(2) = pi/61d-1
  thetas(3) = pi/62d-1
```

```
thetas(4) = pi/63d-1
```

```
!pendulo 1
```

```
w11 = 0d0
```

```
w21 = 0d0
```

```
!pendulo 2
```

```
w12 = 0d0
```

```
w22 = 0d0
```

```
dt = (3d-2)
```

```
open(28, file = "saida-E-1-10799783.dat")
```

```
open(29, file = "saida-E-2-10799783.dat")
```

```
open(30, file = "saida-E-3-10799783.dat")
```

```
open(31, file = "saida-E-4-10799783.dat")
```

```
open(32, file = "saida-E-5-10799783.dat")
```

```
open(33, file = "saida-E-6-10799783.dat")
```

```
open(34, file = "saida-E-7-10799783.dat")
```

```
open(35, file = "saida-E-8-10799783.dat")
```

```
do j = 0, 3
```

```
    n = 1
```

```
    theta11 = thetas(j + 1)
```

```
    theta12 = thetas(j + 1)
```

```
    do i = 1, 100000
```

```
        w11 = w11 + (-(g/r1)*dsin(theta11)-gamma*w11  
&+f01*dsin(i*dt*omega))*dt
```

```
        theta11 = theta11 + w11*dt
```

```

        w12 = w12 + (-(g/r1)*dsin(theta12)-gamma*w12
&+f02*dsin(i*dt*omega))*dt
        theta12 = theta12 + w12*dt

        if ( dabs(i*dt- n*pi/omega) .LT. dt/2d0) then
write(28 + j,*) theta11, w11
write(32 + j,*) theta12, w12
n = n + 1
end if

    end do

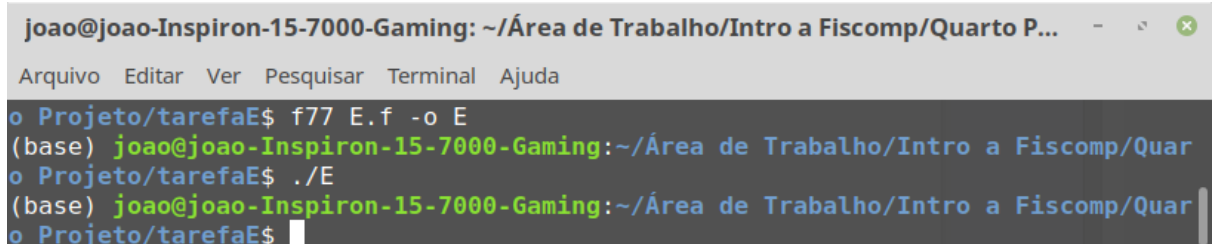
end do

close(28)
close(29)
close(30)
close(31)
close(32)
close(33)
close(34)
close(35)

stop
end program main

```

Que rodando, rende:



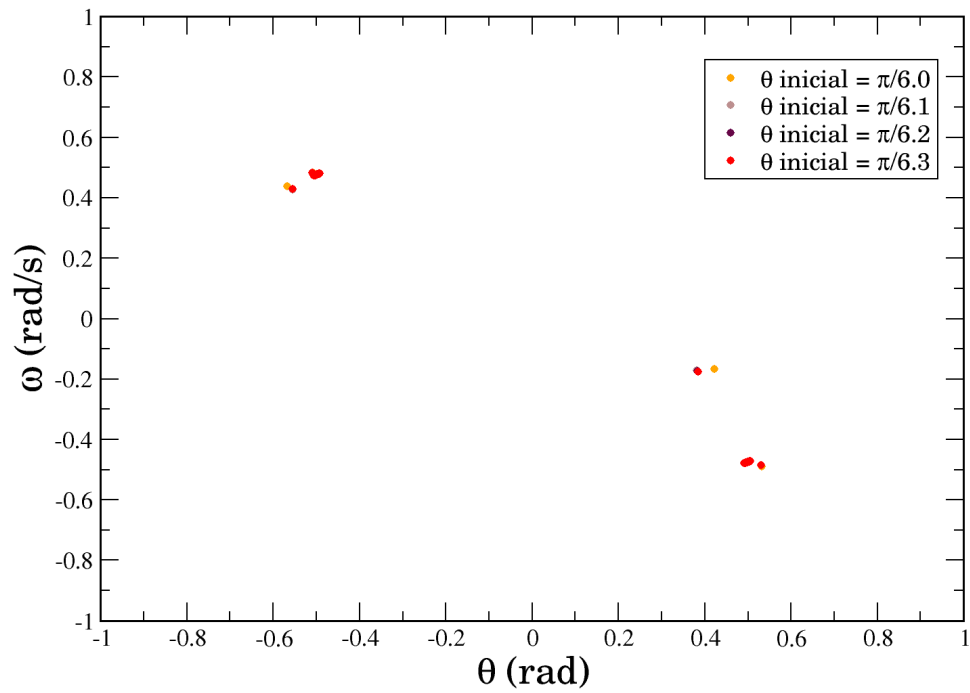
```

joao@joao-Inspiron-15-7000-Gaming: ~/Área de Trabalho/Intro a Fiscomp/Quarto P...
Arquivo  Editar  Ver  Pesquisar  Terminal  Ajuda
o Projeto/tarefaE$ f77 E.f -o E
(base) joao@joao-Inspiron-15-7000-Gaming:~/Área de Trabalho/Intro a Fiscomp/Quar
o Projeto/tarefaE$ ./E
(base) joao@joao-Inspiron-15-7000-Gaming:~/Área de Trabalho/Intro a Fiscomp/Quar
o Projeto/tarefaE$

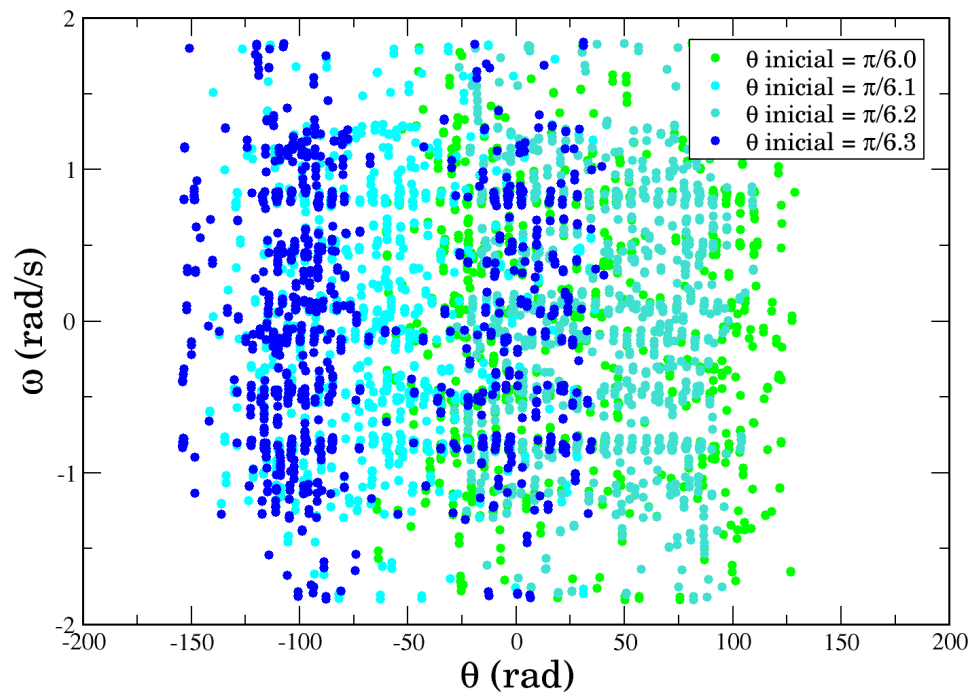
```

E também oito arquivos de saída, sendo os quatro primeiros relativos ao caso da força 0.5 para condições iniciais próximas, e os quatro últimos o caso da força 1.2. Graficando-os, temos:

Secção de poincaré em um pêndulo sob força 0.5

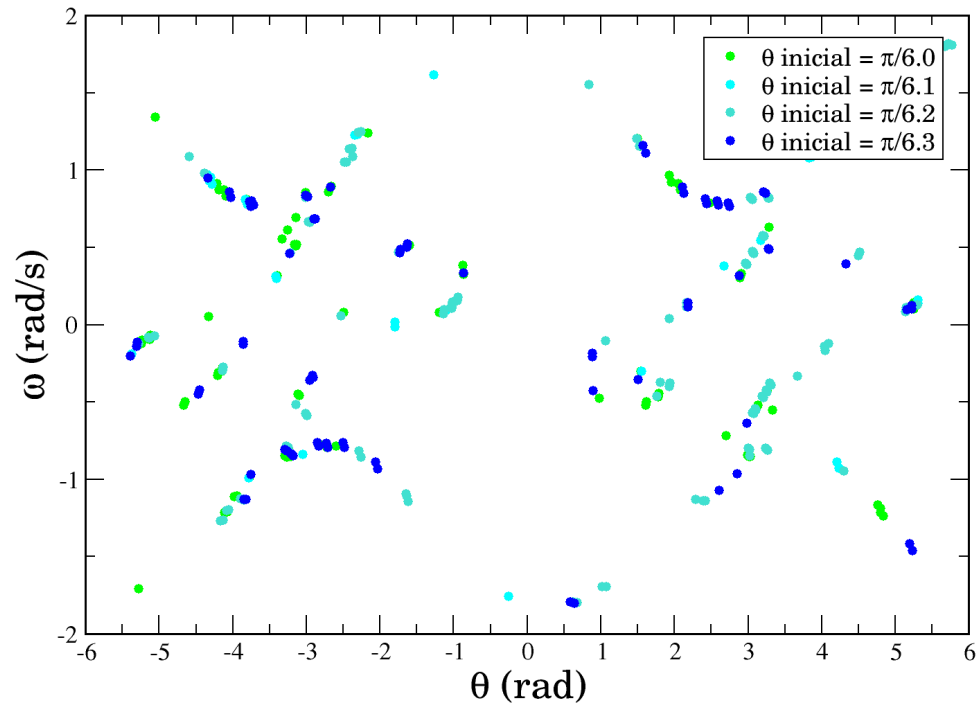


Secção de Poincaré do pêndulo sob força = 1.2



Para melhor análise, aproximemos o gráfico 2 para um segmento menor:

Secção de Poincaré do pêndulo sob força = 1.2



Que são, por si só, figuras interessantes, e mostram que mesmo para condições iniciais diferentes, o comportamento geral do caos é, por mais paradoxal que possa soar, caoticamente previsível.